

ПЛОСКАЯ ЗАДАЧА О РАСЧЕТЕ НАПРЯЖЕННО-ДЕФОРМИРОВАННОГО СОСТОЯНИЯ, ОБУСЛОВЛЕННОГО ЕДИНИЧНЫМ ДВОЙНИКОМ В ЗЕРНЕ ПОЛИКРИСТАЛЛА

Разработана методика расчета напряженно-деформированного состояния, обусловленного единичным двойником в зерне поликристалла. Установлено, что максимальные нормальные и скалывающие напряжения локализованы в узловых точках зерна и на двойниковых границах, а также на границах зерна.

Введение

В настоящее время решение задачи о расчете напряженно-деформированного состояния, обусловленного единичным двойником в зерне поликристалла, является весьма важным, так как позволит разработать методики по прогнозированию и предотвращению связанного с двойникованием разрушения деталей машин. Для наиболее полного решения данной задачи помимо напряжений, обусловленных наличием двойника в зерне поликристалла, необходимо учитывать напряжения, созданные зерненными границами, которые с точки зрения распределения деформаций играют роль внутренних концентраторов напряжения [1].

Целью данной работы стало изучение напряженно-деформированного состояния, обусловленного единичным микродвойником в зерне поликристалла.

Постановка задачи. Рассмотрим зерно поликристалла, находящееся вдали от поверхности двойникового материала. Границы зерна поликристалла представляем как стенки полных дислокаций (рис. 1).

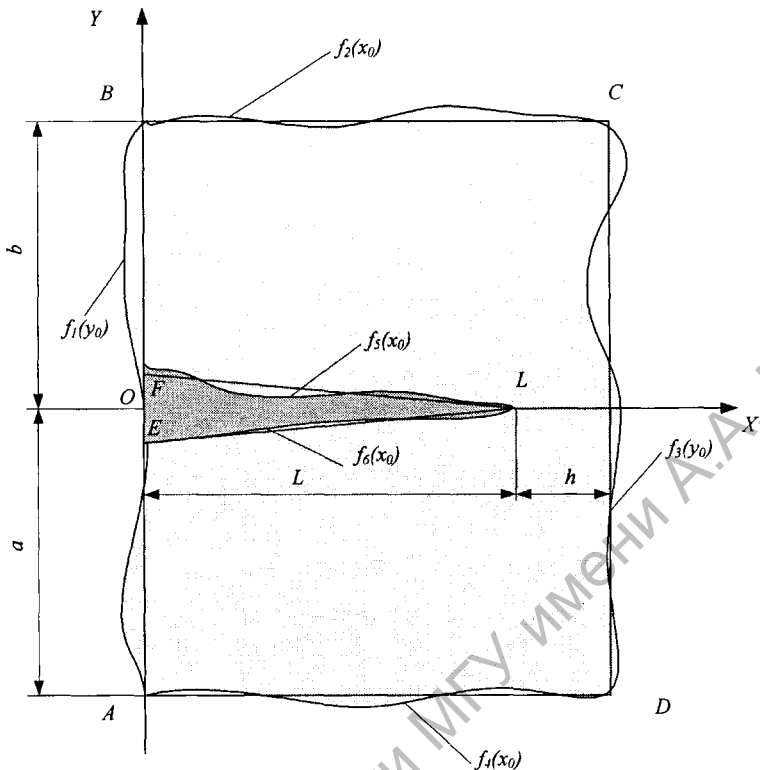


Рисунок 1. Схематическое изображение зерна поликристалла и клиновидного двойника в нем

В теле зерна размещен единичный клиновидный двойник. Такие двойники обычно зарождаются у концентратора напряжений, который в нашем случае находится в точке O (рис. 1). В решении поставленной задачи напряжения, которые создает данный концентратор напряжений, учитывать не будем. Рассмотрим лишь те напряжения, которые создает сам двойник, а также напряжения на границах зерна. Также не будем учитывать напряжения, обусловленные другими зернами поликристалла, так как все это приведет к громоздкости решения.

В общем случае в плоскости XOY форма границ зерна описывается функциями $f_1(y_0), f_2(x_0), f_3(y_0), f_4(x_0)$; а форма границ клиновидного двойника – функциями $f_5(x_0)$ и $f_6(x_0)$ (рис. 1) [2, 3]. Принимаем, что дислокации на каждой из рассматриваемых границ параллельны друг другу и оси OZ , перпендикулярной плоскости рис. 1. Плотность полных дислокаций на границах зерна равна ρ_1, ρ_2, ρ_3 и ρ_4 соответственно. Плотность двойникующих дислокаций на границах клиновидного двойника равна ρ_5, ρ_6 . Тогда смещения, создаваемые рассматриваемым клиновидным двойником с учетом смещений на границах зерна, в соответствии с принципом суперпозиции компонент тензора смещений, могут быть определены по формуле:

$$u_i = \sum_{m=1}^6 u_i^{(m)}(x, y), \quad (1)$$

где i принимает значения x, y или z ; $u_i^{(1)}(x, y), u_i^{(2)}(x, y), u_i^{(3)}(x, y), u_i^{(4)}(x, y), u_i^{(5)}(x, y), u_i^{(6)}(x, y)$ – смещения, создаваемые соответствующими границами (двойниковыми или зеренными). Данные смещения определяются с помощью криволинейного интеграла вдоль профилей соответствующих границ $L_{AB}, L_{BC}, L_{CD}, L_{DA}, L_{FH}, L_{EH}$:

$$u_i^{(m)}(x, y) = \int \rho_m u_i^{(m,0)} ds. \quad (2)$$

Здесь $u_i^{(m,0)}$ – смещения, создаваемые отдельными дислокациями на зеренных или двойниковых границах.

Следует отметить, что использованный в данной задаче принцип суперпозиции правомерен, так как в нашем случае источники внутренних напряжений неподвижны [2].

Криволинейные интегралы (2) в соответствии с [3] сводятся к следующим определенным интегралам:

$$u_i^{(1)}(x, y) = \int_{-a+\varepsilon}^{b-\varepsilon} \sqrt{(1+f_1'(y_0))^2} \rho_1(y_0) u_i^{(1,0)}(x, y, y_0) dy_0; \quad (3)$$

$$u_i^{(2)}(x, y) = \int_0^{L+h} \sqrt{(1+f_2'(x_0))^2} \rho_2(x_0) u_i^{(2,0)}(x, y, x_0) dx_0; \quad (4)$$

$$u_i^{(3)}(x, y) = \int_{-a+\varepsilon}^{b-\varepsilon} \sqrt{(1+f_3'(y_0))^2} \rho_3(y_0) u_i^{(3,0)}(x, y, y_0) dy_0; \quad (5)$$

$$u_i^{(4)}(x, y) = \int_0^{L+h} \sqrt{(1+f_4'(x_0))^2} \rho_4(x_0) u_i^{(4,0)}(x, y, x_0) dx_0; \quad (6)$$

$$u_i^{(5)}(x, y) = \int_0^L \sqrt{(1+f_5'(x_0))^2} \rho_5(x_0) u_i^{(5,0)}(x, y, x_0) dx_0; \quad (7)$$

$$u_i^{(6)}(x, y) = \int_0^L \sqrt{(1+f_6'(x_0))^2} \rho_6(x_0) u_i^{(6,0)}(x, y, x_0) dx_0, \quad (8)$$

где L – длина двойника, равна длине отрезка OL (рис. 1); a, b, h – параметры, определяющие размер зерна; ε – малый параметр порядка межзатомного расстояния.

При расчетах будем учитывать представленную на рис. 2 ориентировку винтовой и краевой составляющих векторов Бюргера. При условии нахождения рассматриваемого зерна вдали от поверхности смещения, создаваемые единичными полными и двойникоующими дислокациями, расположенными на соответствующей границе, в соответствии с [3] и [4], могут быть определены из соотношений:

$$\begin{aligned}
 u_x^{(1,0)} &= \frac{b_{\text{кр}}^{(1)}}{2\pi} \left[\operatorname{arctg} \frac{y-y_0}{x-f_1(y_0)} + \frac{(x-f_1(y_0))(y-y_0)}{2(1-\nu)\left((x-f_1(y_0))^2+(y-y_0)^2\right)} \right], \\
 u_y^{(1,0)} &= -\frac{b_{\text{кр}}^{(1)}}{2\pi} \left[\frac{1-2\nu}{2\pi} \ln\left((x-f_1(y_0))^2+(y-y_0)^2\right) + \right. \\
 &\quad \left. + \frac{(x-f_1(y_0))^2+(y-y_0)^2}{4(1-\nu)\left((x-f_1(y_0))^2+(y-y_0)^2\right)} \right], \\
 u_z^{(1,0)} &= \frac{b_{\text{в}}^{(1)}}{2\pi} \operatorname{arctg} \frac{y-y_0}{x-f_1(y_0)}; \tag{9}
 \end{aligned}$$

$$\begin{aligned}
 u_x^{(2,0)} &= -\frac{b_{\text{кр}}^{(1)}}{2\pi} \left[\frac{1-2\nu}{2\pi} \ln\left((y-f_2(x_0))^2+(x-x_0)^2\right) + \right. \\
 &\quad \left. + \frac{(y-f_2(x_0))^2+(x-x_0)^2}{4(1-\nu)\left((y-f_2(x_0))^2+(x-x_0)^2\right)} \right], \\
 u_y^{(2,0)} &= -\frac{b_{\text{кр}}^{(1)}}{2\pi} \left[\operatorname{arctg} \left(-\frac{x-x_0}{y-f_2(x_0)} \right) + \frac{(y-f_2(x_0))(x-x_0)}{2(1-\nu)\left((y-f_2(x_0))^2+(x-x_0)^2\right)} \right], \\
 u_z^{(2,0)} &= \frac{b_{\text{в}}^{(1)}}{2\pi} \operatorname{arctg} \left(-\frac{x-x_0}{y-f_2(x_0)} \right); \tag{10}
 \end{aligned}$$

$$\begin{aligned}
 u_x^{(3,0)} &= -\frac{b_{\text{кр}}^{(1)}}{2\pi} \left[\operatorname{arctg} \frac{y-y_0}{x-f_3(y_0)} + \frac{(x-f_3(y_0))(y-y_0)}{2(1-\nu)\left((x-f_3(y_0))^2+(y-y_0)^2\right)} \right], \\
 u_y^{(3,0)} &= \frac{b_{\text{кр}}^{(1)}}{2\pi} \left[\frac{1-2\nu}{2\pi} \ln\left((x-f_3(y_0))^2+(y-y_0)^2\right) + \right. \\
 &\quad \left. + \frac{(x-f_3(y_0))^2+(y-y_0)^2}{4(1-\nu)\left((x-f_3(y_0))^2+(y-y_0)^2\right)} \right], \\
 u_z^{(3,0)} &= \frac{b_{\text{в}}^{(1)}}{2\pi} \operatorname{arctg} \frac{y-y_0}{x-f_3(y_0)}; \tag{11}
 \end{aligned}$$

$$u_x^{(4,0)} = \frac{b_{\text{кр}}^{(1)}}{2\pi} \left[\frac{1-2\nu}{2\pi} \ln \left((y-f_4(x_0))^2 + (x-x_0)^2 \right) + \frac{(y-f_4(x_0))^2 + (x-x_0)^2}{4(1-\nu) \left((y-f_4(x_0))^2 + (x-x_0)^2 \right)} \right],$$

$$u_y^{(4,0)} = \frac{b_{\text{кр}}^{(1)}}{2\pi} \left[\operatorname{arctg} \left(-\frac{x-x_0}{y-f_4(x_0)} \right) - \frac{(y-f_4(x_0))(x-x_0)}{2(1-\nu) \left((y-f_4(x_0))^2 + (x-x_0)^2 \right)} \right],$$

$$u_z^{(4,0)} = \frac{b_{\text{в}}^{(1)}}{2\pi} \operatorname{arctg} \left(-\frac{x-x_0}{y-f_4(x_0)} \right); \quad (12)$$

$$u_x^{(5,0)} = \frac{b_{\text{кр}}^{(2)}}{2\pi} \left[\operatorname{arctg} \frac{y-f_5(x_0)}{x-x_0} + \frac{(y-f_5(x_0))(x-x_0)}{2(1-\nu) \left((y-f_5(x_0))^2 + (x-x_0)^2 \right)} \right],$$

$$u_y^{(5,0)} = -\frac{b_{\text{кр}}^{(2)}}{2\pi} \left[\frac{1-2\nu}{2\pi} \ln \left((y-f_5(x_0))^2 + (x-x_0)^2 \right) + \frac{(x-x_0)^2 - (y-f_5(x_0))^2}{4(1-\nu) \left((y-f_5(x_0))^2 + (x-x_0)^2 \right)} \right],$$

$$u_z^{(5,0)} = \frac{b_{\text{в}}^{(2)}}{2\pi} \operatorname{arctg} \frac{y-f_5(x_0)}{x-x_0}; \quad (13)$$

$$u_x^{(6,0)} = \frac{b_{\text{кр}}^{(2)}}{2\pi} \left[\operatorname{arctg} \frac{y-f_6(x_0)}{x-x_0} + \frac{(y-f_6(x_0))(x-x_0)}{2(1-\nu) \left((y-f_6(x_0))^2 + (x-x_0)^2 \right)} \right],$$

$$u_y^{(6,0)} = -\frac{b_{\text{кр}}^{(2)}}{2\pi} \left[\frac{1-2\nu}{2\pi} \ln \left((y-f_6(x_0))^2 + (x-x_0)^2 \right) + \frac{(x-x_0)^2 - (y-f_6(x_0))^2}{4(1-\nu) \left((y-f_6(x_0))^2 + (x-x_0)^2 \right)} \right],$$

$$u_z^{(6,0)} = \frac{b_{\text{в}}^{(2)}}{2\pi} \operatorname{arctg} \frac{y-f_6(x_0)}{x-x_0}; \quad (14)$$

где ν – коэффициент Пуассона, $b_{кр}^{(1)}$ – вектор Бюргера полной краевой дислокации; $b_{в}^{(1)}$ – вектора Бюргера полной винтовой дислокации; $b_{кр}^{(2)}$ – краевая составляющая вектора Бюргера двойнивающей дислокации; $b_{в}^{(2)}$ – винтовая составляющая вектора Бюргера двойнивающей дислокации.

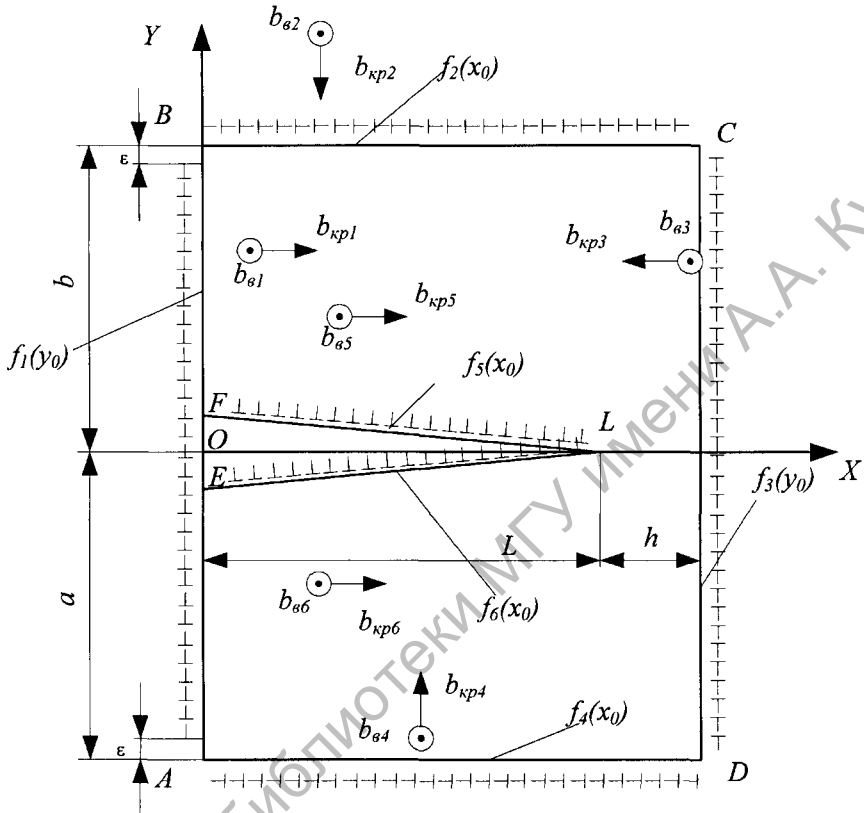


Рисунок 2. Схема взаимного расположения дислокаций, их компонент вектора Бюргера и декартовой системы координат для расчета полей напряжений и смещений у клиновидного двойника в теле зерна

Поля напряжений, аналогично (1), могут быть определены из соотношения:

$$\sigma_{ij} = \sum_{m=1}^6 \sigma_{ij}^{(m)}(x, y), \quad (15)$$

где $\sigma_{ij}^{(m)}(x, y) = \int \rho_m \sigma_{ij}^{(m,0)} ds$.

Здесь $\sigma_{ij}^{(1)}(x, y)$, $\sigma_{ij}^{(2)}(x, y)$, $\sigma_{ij}^{(3)}(x, y)$, $\sigma_{ij}^{(4)}(x, y)$ – напряжения, создаваемые каждой из границ зерна; $\sigma_{ij}^{(5)}(x, y)$ и $\sigma_{ij}^{(6)}(x, y)$ – напряжения, обусловленные двойниковыми границами. Данные напряжения определяют с помощью криволинейного интеграла вдоль профилей соответствующих

щих границ L_{AB} , L_{BC} , L_{CD} , L_{DA} , L_{FH} , L_{EH} ; $\sigma_{ij}^{(m,0)}$ – напряжения, создаваемые отдельными дислокациями на зеренных или двойниковых границах соответственно.

Криволинейные интегралы (16) сводятся к следующим определенным интегралам:

$$\sigma_{ij}^{(1)}(x, y) = \int_{-a+\varepsilon}^{b-\varepsilon} \sqrt{(1+f_1'(y_0))^2} \rho_1(y_0) \sigma_{ij}^{(1,0)}(x, y, y_0) dy_0; \quad (17)$$

$$\sigma_{ij}^{(2)}(x, y) = \int_0^{L+h} \sqrt{(1+f_2'(x_0))^2} \rho_2(x_0) \sigma_{ij}^{(2,0)}(x, y, x_0) dx_0; \quad (18)$$

$$\sigma_{ij}^{(3)}(x, y) = \int_{-a+\varepsilon}^{b-\varepsilon} \sqrt{(1+f_3'(y_0))^2} \rho_3(y_0) \sigma_{ij}^{(3,0)}(x, y, y_0) dy_0; \quad (19)$$

$$\sigma_{ij}^{(4)}(x, y) = \int_0^{L+h} \sqrt{(1+f_4'(x_0))^2} \rho_4(x_0) \sigma_{ij}^{(4,0)}(x, y, x_0) dx_0; \quad (20)$$

$$\sigma_{ij}^{(5)}(x, y) = \int_0^L \sqrt{(1+f_5'(x_0))^2} \rho_5(x_0) \sigma_{ij}^{(5,0)}(x, y, x_0) dx_0; \quad (21)$$

$$\sigma_{ij}^{(6)}(x, y) = \int_0^L \sqrt{(1+f_6'(x_0))^2} \rho_6(x_0) \sigma_{ij}^{(6,0)}(x, y, x_0) dx_0. \quad (22)$$

Напряжения $\sigma_{ij}^{(m,0)}$, создаваемые единичными полными и двойникующими дислокациями, расположенными на соответствующей границе, с учетом принятого направления составляющих вектора Бюргерса и при условии нахождения рассматриваемого зерна вдали от поверхности, определяются следующим образом:

$$\sigma_{xx}^{(1,0)} = \frac{\mu b_{кр}^{(1)} (y-y_0) [3(x-f_1(y_0))^2 + (y-y_0)^2]}{2\pi(1-\nu) [(x-f_1(y_0))^2 + (y-y_0)^2]^2},$$

$$\sigma_{yy}^{(1,0)} = \frac{\mu b_{кр}^{(1)} (y-y_0) [(x-f_1(y_0))^2 - (y-y_0)^2]}{2\pi(1-\nu) [(x-f_1(y_0))^2 + (y-y_0)^2]^2},$$

$$\sigma_{xy}^{(1,0)} = \frac{\mu b_{кр}^{(1)} (x-f_1(y_0)) [(x-f_1(y_0))^2 - (y-y_0)^2]}{2\pi(1-\nu) [(x-f_1(y_0))^2 + (y-y_0)^2]^2},$$

$$\begin{aligned}\sigma_{zz}^{(1,0)} &= -\frac{\mu b_{\text{кр}}^{(1)} \nu}{\pi(1-\nu)} \frac{y-y_0}{(x-f_1(y_0))^2 + (y-y_0)^2}, \\ \sigma_{xz}^{(1,0)} &= -\frac{\mu b_{\text{в}}^{(1)}}{2\pi} \frac{y-y_0}{(x-f_1(y_0))^2 + (y-y_0)^2}, \\ \sigma_{yz}^{(1,0)} &= \frac{\mu b_{\text{в}}^{(1)}}{2\pi} \frac{x-f_1(y_0)}{(x-f_1(y_0))^2 + (y-y_0)^2};\end{aligned}\tag{23}$$

$$\begin{aligned}\sigma_{xx}^{(2,0)} &= \frac{\mu b_{\text{кр}}^{(1)}}{2\pi(1-\nu)} \frac{(x-x_0)[(y-f_2(x_0))^2 - (x-x_0)^2]}{[(y-f_2(x_0))^2 + (x-x_0)^2]^2}, \\ \sigma_{yy}^{(2,0)} &= -\frac{\mu b_{\text{кр}}^{(1)}}{2\pi(1-\nu)} \frac{(x-x_0)[3(y-f_2(x_0))^2 + (x-x_0)^2]}{[(y-f_2(x_0))^2 + (x-x_0)^2]^2}, \\ \sigma_{xy}^{(2,0)} &= \frac{\mu b_{\text{кр}}^{(1)}}{2\pi(1-\nu)} \frac{(y-f_2(x_0))[(y-f_2(x_0))^2 - (x-x_0)^2]}{[(y-f_2(x_0))^2 + (x-x_0)^2]^2}, \\ \sigma_{zz}^{(2,0)} &= -\frac{\mu b_{\text{кр}}^{(1)} \nu}{\pi(1-\nu)} \frac{x-x_0}{(y-f_2(x_0))^2 + (x-x_0)^2}, \\ \sigma_{xz}^{(2,0)} &= -\frac{\mu b_{\text{в}}^{(1)}}{2\pi} \frac{y-f_2(x_0)}{(y-f_2(x_0))^2 + (x-x_0)^2}, \\ \sigma_{yz}^{(2,0)} &= \frac{\mu b_{\text{в}}^{(1)}}{2\pi} \frac{x-x_0}{(y-f_2(x_0))^2 + (x-x_0)^2};\end{aligned}\tag{24}$$

$$\begin{aligned}\sigma_{xx}^{(3,0)} &= \frac{\mu b_{\text{кр}}^{(1)}}{2\pi(1-\nu)} \frac{(y-y_0)[3(x-f_3(y_0))^2 + (y-y_0)^2]}{[(x-f_3(y_0))^2 + (y-y_0)^2]^2}, \\ \sigma_{yy}^{(3,0)} &= -\frac{\mu b_{\text{кр}}^{(1)}}{2\pi(1-\nu)} \frac{(y-y_0)[(x-f_3(y_0))^2 - (y-y_0)^2]}{[(x-f_3(y_0))^2 + (y-y_0)^2]^2},\end{aligned}$$

$$\begin{aligned}\sigma_{xy}^{(3,0)} &= -\frac{\mu b_{\text{кр}}^{(1)} (x - f_3(y_0)) \left[(x - f_3(y_0))^2 - (y - y_0)^2 \right]}{2\pi(1-\nu) \left[(x - f_3(y_0))^2 + (y - y_0)^2 \right]^2}, \\ \sigma_{zz}^{(3,0)} &= \frac{\mu b_{\text{кр}}^{(1)} \nu}{\pi(1-\nu)} \frac{y - y_0}{(x - f_3(y_0))^2 + (y - y_0)^2}, \\ \sigma_{xz}^{(3,0)} &= -\frac{\mu b_{\text{в}}^{(1)}}{2\pi} \frac{y - y_0}{(x - f_3(y_0))^2 + (y - y_0)^2}, \\ \sigma_{yz}^{(3,0)} &= \frac{\mu b_{\text{в}}^{(1)}}{2\pi} \frac{x - f_3(y_0)}{(x - f_3(y_0))^2 + (y - y_0)^2};\end{aligned}\quad (25)$$

$$\begin{aligned}\sigma_{xx}^{(4,0)} &= -\frac{\mu b_{\text{кр}}^{(1)} (x - x_0) \left[(y - f_4(x_0))^2 - (x - x_0)^2 \right]}{2\pi(1-\nu) \left[(y - f_4(x_0))^2 + (x - x_0)^2 \right]^2}, \\ \sigma_{yy}^{(4,0)} &= \frac{\mu b_{\text{кр}}^{(1)} (x - x_0) \left[3(y - f_4(x_0))^2 + (x - x_0)^2 \right]}{2\pi(1-\nu) \left[(y - f_4(x_0))^2 + (x - x_0)^2 \right]^2}, \\ \sigma_{xy}^{(4,0)} &= -\frac{\mu b_{\text{кр}}^{(1)} (y - f_4(x_0)) \left[(y - f_4(x_0))^2 - (x - x_0)^2 \right]}{2\pi(1-\nu) \left[(y - f_4(x_0))^2 + (x - x_0)^2 \right]^2}, \\ \sigma_{zz}^{(4,0)} &= \frac{\mu b_{\text{кр}}^{(1)} \nu}{\pi(1-\nu)} \frac{x - x_0}{(y - f_4(x_0))^2 + (x - x_0)^2}, \\ \sigma_{xz}^{(4,0)} &= -\frac{\mu b_{\text{в}}^{(1)}}{2\pi} \frac{y - f_4(x_0)}{(y - f_4(x_0))^2 + (x - x_0)^2}, \\ \sigma_{yz}^{(4,0)} &= \frac{\mu b_{\text{в}}^{(1)}}{2\pi} \frac{x - x_0}{(y - f_4(x_0))^2 + (x - x_0)^2};\end{aligned}\quad (26)$$

$$\begin{aligned}\sigma_{xx}^{(5,0)} &= -\frac{\mu b_{\text{кр}}^{(2)} (x - x_0) \left[3(y - f_5(x_0))^2 + (x - x_0)^2 \right]}{2\pi(1-\nu) \left[(y - f_5(x_0))^2 + (x - x_0)^2 \right]^2}, \\ \sigma_{yy}^{(5,0)} &= \frac{\mu b_{\text{кр}}^{(2)} (x - x_0) \left[(y - f_5(x_0))^2 - (x - x_0)^2 \right]}{2\pi(1-\nu) \left[(y - f_5(x_0))^2 + (x - x_0)^2 \right]^2},\end{aligned}$$

$$\begin{aligned} \sigma_{xy}^{(5,0)} &= \frac{\mu b_{\text{кр}}^{(2)} (y - f_5(x_0)) \left[(y - f_5(x_0))^2 - (x - x_0)^2 \right]}{2\pi(1-\nu) \left[(y - f_5(x_0))^2 + (x - x_0)^2 \right]^2}, \\ \sigma_{zz}^{(5,0)} &= -\frac{\mu b_{\text{кр}}^{(2)} \nu}{\pi(1-\nu)} \frac{x - x_0}{(y - f_5(x_0))^2 + (x - x_0)^2}, \\ \sigma_{xz}^{(5,0)} &= -\frac{\mu b_{\text{в}}^{(2)}}{2\pi} \frac{x - x_0}{(y - f_5(x_0))^2 + (x - x_0)^2}, \\ \sigma_{yz}^{(5,0)} &= \frac{\mu b_{\text{в}}^{(2)}}{2\pi} \frac{y - f_5(x_0)}{(y - f_5(x_0))^2 + (x - x_0)^2}; \end{aligned} \quad (27)$$

$$\begin{aligned} \sigma_{xx}^{(6,0)} &= -\frac{\mu b_{\text{кр}}^{(2)} (x - x_0) \left[3(y - f_6(x_0))^2 + (x - x_0)^2 \right]}{2\pi(1-\nu) \left[(y - f_6(x_0))^2 + (x - x_0)^2 \right]^2}, \\ \sigma_{yy}^{(6,0)} &= \frac{\mu b_{\text{кр}}^{(2)} (x - x_0) \left[(y - f_6(x_0))^2 - (x - x_0)^2 \right]}{2\pi(1-\nu) \left[(y - f_6(x_0))^2 + (x - x_0)^2 \right]^2}, \\ \sigma_{xy}^{(6,0)} &= \frac{\mu b_{\text{кр}}^{(2)} (y - f_6(x_0)) \left[(y - f_6(x_0))^2 - (x - x_0)^2 \right]}{2\pi(1-\nu) \left[(y - f_6(x_0))^2 + (x - x_0)^2 \right]^2}, \\ \sigma_{zz}^{(6,0)} &= -\frac{\mu b_{\text{кр}}^{(2)} \nu}{\pi(1-\nu)} \frac{x - x_0}{(y - f_6(x_0))^2 + (x - x_0)^2}, \\ \sigma_{xz}^{(6,0)} &= -\frac{\mu b_{\text{в}}^{(2)}}{2\pi} \frac{x - x_0}{(y - f_6(x_0))^2 + (x - x_0)^2}, \\ \sigma_{yz}^{(6,0)} &= \frac{\mu b_{\text{в}}^{(2)}}{2\pi} \frac{y - f_6(x_0)}{(y - f_6(x_0))^2 + (x - x_0)^2}. \end{aligned} \quad (28)$$

Здесь μ – модуль сдвига.

Рассмотрим случай, когда $\rho_1 = \rho_2 = \rho_3 = \rho_4 = C_1$; $\rho_5 = \rho_6 = C_2$. Также примем допущение, что границы зерна прямолинейны и параллельны соответствующим осям (OX или OY). При этом в плоскости XOY зерно имеет форму прямоугольника длиной $(a+b)$ и шириной $(L+h)$. Тогда в соответствии с рис. 2 в рассматриваемом случае будем иметь:

$$f_1(y_0) = 0, \quad (29)$$

$$f_2(y_0) = b, \quad (30)$$

$$f_3(y_0) = L + h, \quad (31)$$

$$f_4(y_0) = -a. \quad (32)$$

Пусть границы двойника – прямолинейны. При этом двойник имеет форму равнобедренного треугольника EFL (рис. 2) с шириной у устья H . Тогда функции, описывающие форму границ двойника в плоскости XOY , примут вид [3]:

$$f_5(x_0) = \frac{H}{2} \left(1 - \frac{x_0}{L} \right), \quad (33)$$

$$f_6(x_0) = -\frac{H}{2} \left(1 - \frac{x_0}{L} \right). \quad (34)$$

Результаты расчетов и их обсуждение. Расчеты проводились для железа. При этом принималось: $b_{кр}^{(1)} = b_b^{(1)} = 0,248$ нм; $b_{кр}^{(2)} = b_b^{(2)} = 0,124$ нм [5]; $\mu = 81$ ГПа [6]; $\nu = 0,29$ [5].

Результаты расчетов полей напряжений представлены на рис. 3, где четко просматриваются двойниковые границы и границы зерна, являющиеся концентраторами напряжений. Данный факт указывает на правомерность использования предложенной выше модели (23) – (28).

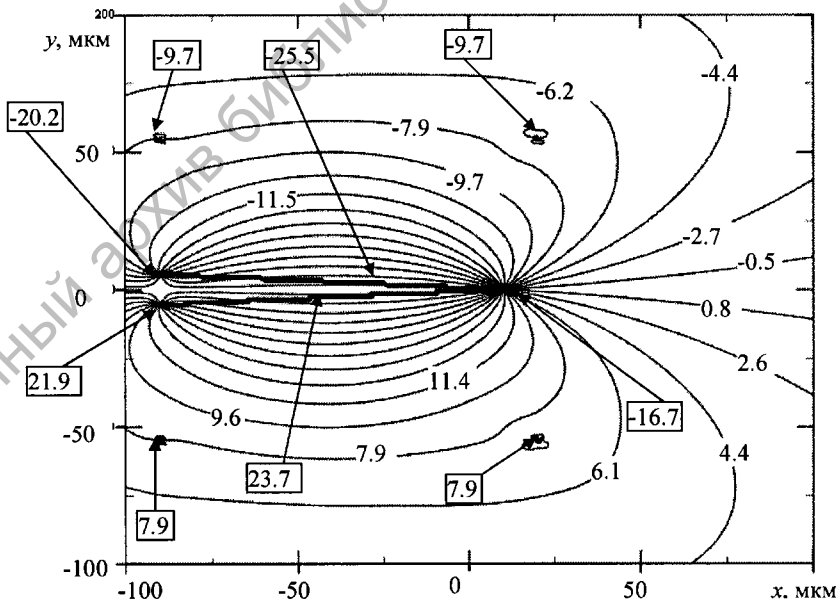


Рисунок 3, а. Распределение напряжений в зерне поликристалла, обусловленных наличием единичного клиновидного двойника: $\sigma_{xx}(x, y)$

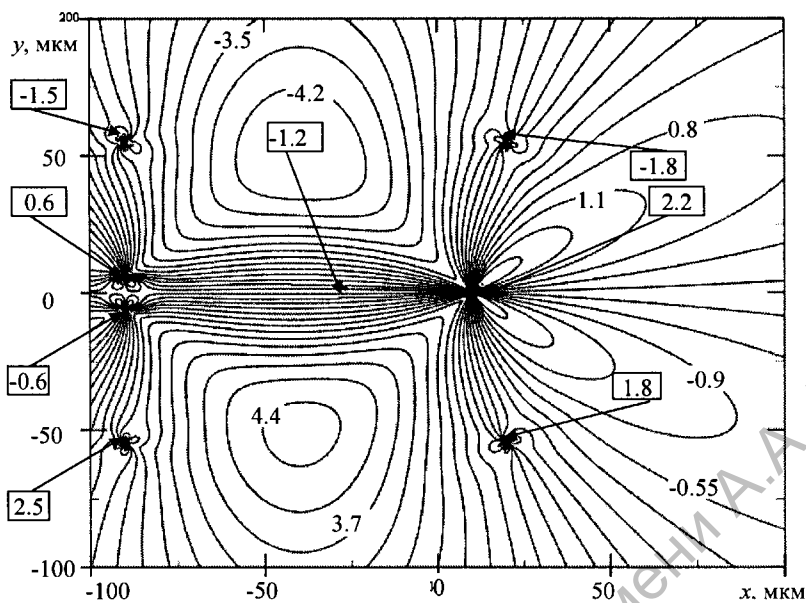


Рисунок 3, б. Распределение напряжений в зерне поликристалла, обусловленных наличием единичного клиновидного двойника: $\sigma_{yx}(x,y)$

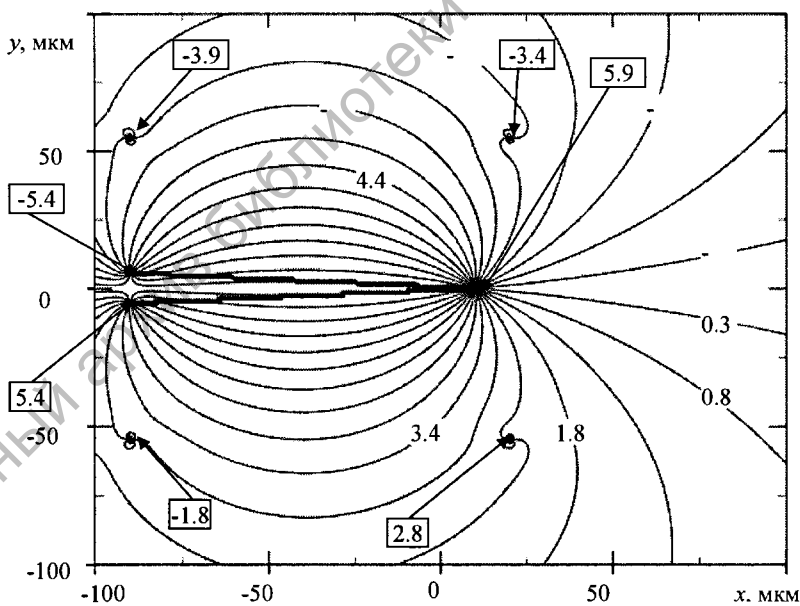


Рисунок 3, в. Распределение напряжений в зерне поликристалла, обусловленных наличием единичного клиновидного двойника: $\sigma_{zz}(x,y)$

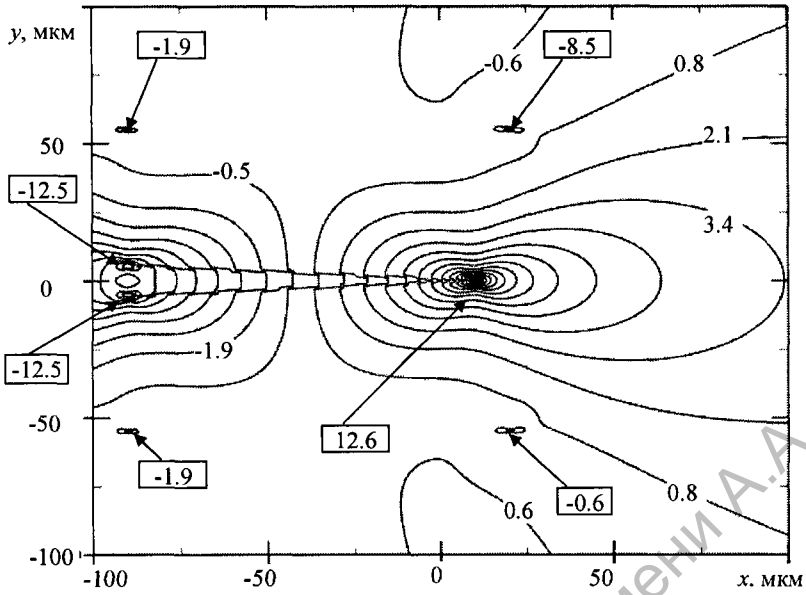


Рисунок 3, г. Распределение напряжений в зерне поликристалла, обусловленных наличием единичного клиновидного двойника: $\sigma_{xx}(x,y)$

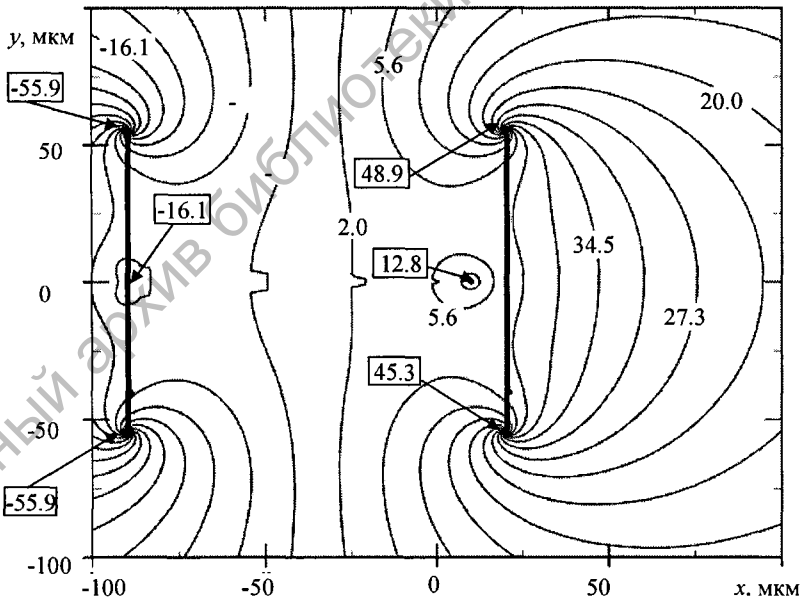


Рисунок 3, д. Распределение напряжений в зерне поликристалла, обусловленных наличием единичного клиновидного двойника: $\sigma_{yz}(x,y)$

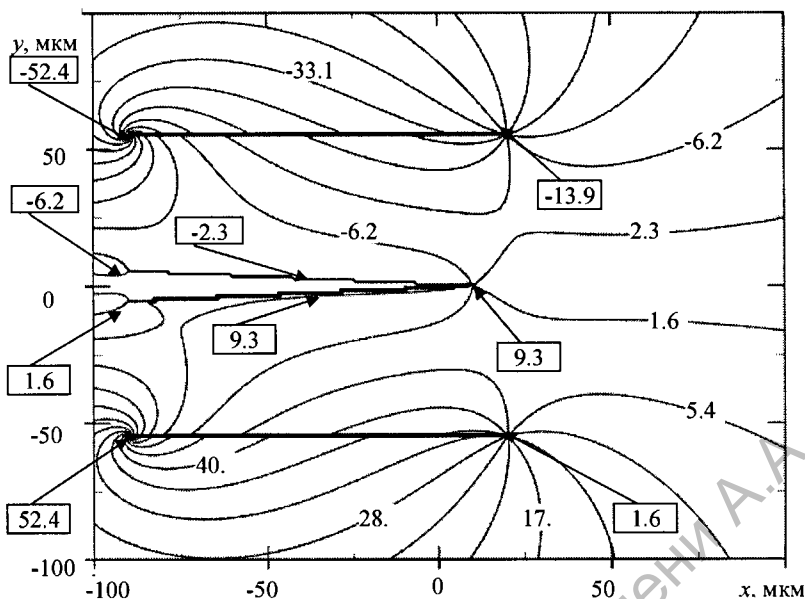


Рисунок 3, е. Распределение напряжений в зерне поликристалла, обусловленных наличием единичного клиновидного двойника: $\sigma_{xz}(x,y)$

Из рис. 3 видно, что максимальные нормальные и скалывающие σ_{xy} напряжения локализованы в узловых точках зерна и на двойниковых границах, скалывающие напряжения σ_{zy} локализованы на вертикальных границах зерна, а σ_{xz} – на горизонтальных границах зерна.

Высокая концентрация напряжений в основном наблюдается в узловых точках зерна (рис. 3, а – 3, г) и у вершины двойника (рис. 3, а; рис. 3, в – 3, е). Численные значения этих напряжений могут быть найдены из (23) – (28) и (15) при соответствующих значениях x и y . Следует отметить, что наиболее высокая концентрация скалывающих напряжений σ_{yz} наблюдается на вертикальных границах зерна (рис. 3, д), а σ_{xz} – на горизонтальных (рис. 3, е). Это обусловлено тем, что мощность вектора Бюргерса полной дислокации зерна выше мощности вектора Бюргерса частичной двойникующей дислокации.

Нормальные напряжения σ_{xx} (рис. 3, а) и σ_{zz} (рис. 3, в) знакопеременны относительно оси Ox и относительно вершины двойника. Они положительны в первой и третьей четвертях, а отрицательны во второй и четвертой. Таким образом, у одной из границ клиновидного двойника напряжения σ_{xx} сжимающие, а у другой – растягивающие.

Нормальные напряжения σ_{yy} локализованы только в узловых точках зерна, при этом двойниковые напряжения перекрываются напряжениями на границах зерна (рис. 3, б).

Скалывающие напряжения σ_{xy} знакопеременны по отношению к оси, параллельной оси Oy и проходящей через середину двойника. У вершины двойника данные напряжения отрицательны, а у устья – положительны.

ны. При этом в вершинах зерна данные напряжения отрицательны. Максимальные значения скалывающих напряжений σ_{xy} можно отметить у вершины двойника, а минимальные – в средней части двойника (рис. 3, г).

Напряжения σ_{zy} (рис. 3, д) локализованы на вертикальных границах зерна. При этом на границе, примыкающей к устью двойника они имеют положительный знак, а на параллельной ей границе – отрицательный и вновь на положительный. Максимальные значения напряжений при этом можно отметить в узловых точках зерна.

Напряжения σ_{zx} (рис. 3, е) локализованы на горизонтальных границах зерна. При этом на верхней границе они максимальны и имеют отрицательный знак, а на параллельной ей границе напряжения – минимальны и имеют отрицательный знак. Максимальные значения напряжений при этом можно отметить в узловых точках границы зерна, прилегающей к устью двойника.

Таким образом, разработан метод расчета полей смещений и напряжений, обусловленных наличием единичного микродвойника в зерне поликристалла. Выявлены узловые точки в зернах поликристалла, имеющие максимальные напряжения и смещения. Метод позволяет изучать влияние зеренных границ на напряженно-деформированное состояние, обусловленное двойникованием.

СПИСОК ИСПОЛЬЗОВАННЫХ ИСТОЧНИКОВ

1. *Немец, Я.* Жесткость и прочность стальных деталей : сокр. пер. с чеш. / Я. Немец ; под ред. С.В. Серенсена. – М. : Машиностроение, 1970. – 528 с.
2. *Остриков, О.М.* Дислокационная макроскопическая модель клиновидного двойника / О.М. Остриков // Вестник ГГТУ им. П.О. Сухого. – 2006. – № 2. – С. 10–18.
3. *Остриков, О.М.* Механика двойникования твердых тел : монография / О.М. Остриков. – Гомель : ГГТУ им. П.О. Сухого, 2008. – 301 с.
4. *Хирт, Дж.* Теория дислокаций / Дж. Хирт, И. Лоте. – М. : Атомиздат, 1972. – 600 с.
5. *Полухин, П.И.* Физические основы пластической деформации / П.И. Полухин, С.С. Горелик, В.К. Воронцов. – М. : Металлургия, 1982. – 584 с.
6. *Киттель, Ч.* Введение в физику твердого тела / Ч. Киттель. – М. : Наука, 1978. – 792 с.

Поступила в редакцию 06.02.2014 г.